

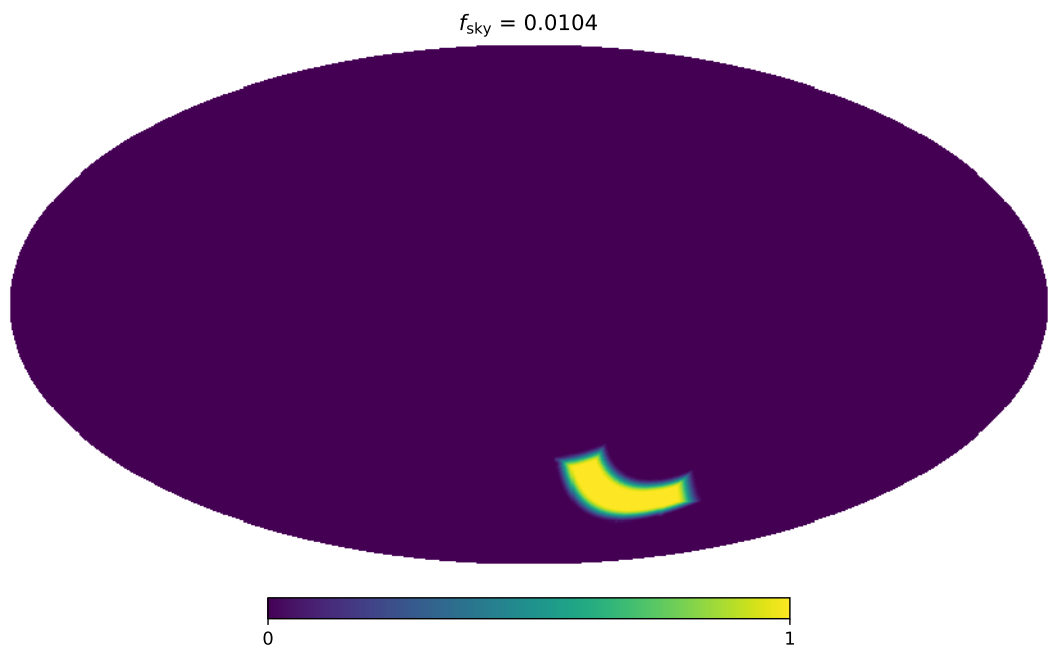
# PICO r statistics

Aditya Rotti

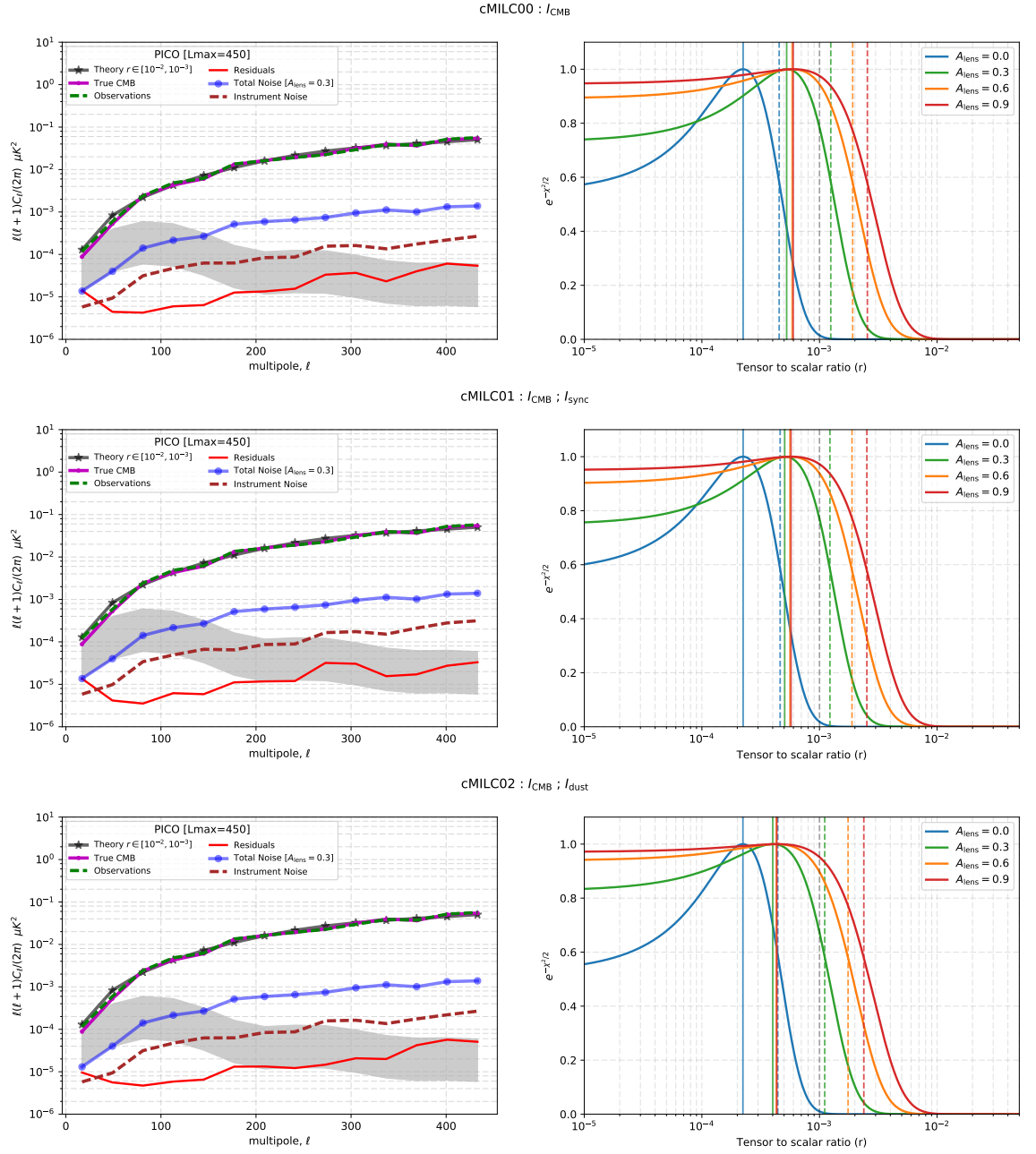
Case	Moments	Parameters
cMILC00	$I_{\text{CMB}}$	1
cMILC01	$I_{\text{CMB}} ; I_{\text{sync}}$	2
cMILC02	$I_{\text{CMB}} ; I_{\text{dust}}$	2
cMILC03	$I_{\text{CMB}} ; I_{\text{sync}} ; I_{\text{dust}}$	3
cMILC04	$I_{\text{CMB}} ; I_{\text{dust}} ; \frac{dI_{\text{dust}}}{d\beta}$	3
cMILC05	$I_{\text{CMB}} ; I_{\text{sync}} ; I_{\text{dust}} ; \frac{dI_{\text{dust}}}{d\beta}$	4
cMILC06	$I_{\text{CMB}} ; I_{\text{sync}} ; I_{\text{dust}} ; \frac{dI_{\text{sync}}}{d\beta} ; \frac{dI_{\text{dust}}}{d\beta} \text{ (H)}$	5
cMILC07	$I_{\text{CMB}} ; I_{\text{sync}} ; I_{\text{dust}} ; \frac{dI_{\text{sync}}}{d\beta} ; \frac{dI_{\text{dust}}}{d\beta} ; \frac{dI_{\text{dust}}}{dT}$	6
cMILC08	$I_{\text{CMB}} ; I_{\text{sync}} ; I_{\text{dust}} ; \frac{dI_{\text{sync}}}{d\beta} ; \frac{dI_{\text{dust}}}{d\beta} ; \frac{dI_{\text{dust}}}{dT} ; \frac{d^2 I_{\text{dust}}}{d^2 T}$	7
cMILC09	$I_{\text{CMB}} ; I_{\text{sync}} ; I_{\text{dust}} ; \frac{dI_{\text{sync}}}{d\beta} ; \frac{dI_{\text{dust}}}{d\beta} ; \frac{dI_{\text{dust}}}{dT} ; \frac{d^2 I_{\text{dust}}}{d^2 T} \text{ (H)}$	7
cMILC10	$I_{\text{CMB}} ; I_{\text{sync}} ; I_{\text{dust}} ; \frac{dI_{\text{sync}}}{d\beta} ; \frac{dI_{\text{dust}}}{d\beta} ; \frac{dI_{\text{dust}}}{dT} ; \frac{d^2 I_{\text{sync}}}{d^2 \beta} ; \frac{d^2 I_{\text{dust}}}{d^2 T}$	8
cMILC11	$I_{\text{CMB}} ; I_{\text{sync}} ; I_{\text{dust}} ; \frac{dI_{\text{sync}}}{d\beta} ; \frac{dI_{\text{dust}}}{d\beta} ; \frac{dI_{\text{dust}}}{dT} ; \frac{d^2 I_{\text{sync}}}{d^2 \beta} ; \frac{d^2 I_{\text{dust}}}{d^2 T} \text{ (H)}$	8
cMILC12	$I_{\text{CMB}} ; I_{\text{sync}} ; I_{\text{dust}} ; \frac{dI_{\text{sync}}}{d\beta} ; \frac{dI_{\text{dust}}}{d\beta} ; \frac{dI_{\text{dust}}}{dT} ; \frac{d^2 I_{\text{sync}}}{d^2 \beta} ; \frac{d^2 I_{\text{dust}}}{d^2 T} ; \frac{d^2 I_{\text{dust}}}{d\beta dT}$	9
cMILC13	$I_{\text{CMB}} ; I_{\text{sync}} ; I_{\text{dust}} ; \frac{dI_{\text{sync}}}{d\beta} ; \frac{dI_{\text{dust}}}{d\beta} ; \frac{dI_{\text{dust}}}{dT} ; \frac{d^2 I_{\text{sync}}}{d^2 \beta} ; \frac{d^2 I_{\text{dust}}}{d^2 T} ; \frac{d^2 I_{\text{dust}}}{d\beta dT} \text{ (H)}$	9
cMILC14	$I_{\text{CMB}} ; I_{\text{sync}} ; I_{\text{dust}} ; \frac{dI_{\text{sync}}}{d\beta} ; \frac{dI_{\text{dust}}}{d\beta} ; \frac{dI_{\text{dust}}}{dT} ; \frac{d^2 I_{\text{sync}}}{d^2 \beta} ; \frac{d^2 I_{\text{dust}}}{d^2 T} ; \frac{d^2 I_{\text{dust}}}{d\beta dT} ; \frac{d^2 I_{\text{dust}}}{d^2 \beta}$	10

Case	Alens	$r_{\text{bias}}$	$\sigma_r$	$r_{95}$	SNR
cMILC00	0.0	0.00022	0.00023	0.00073	0.97606
	0.3	0.00053	0.00072	0.00214	0.72890
	0.6	0.00058	0.00133	0.00358	0.43983
	0.9	0.00060	0.00196	0.00501	0.30559
cMILC01	0.0	0.00022	0.00024	0.00075	0.94003
	0.3	0.00051	0.00072	0.00212	0.70217
	0.6	0.00056	0.00133	0.00356	0.42175
	0.9	0.00057	0.00195	0.00499	0.29301
cMILC02	0.0	0.00022	0.00022	0.00071	1.02211
	0.3	0.00040	0.00071	0.00199	0.56604
	0.6	0.00043	0.00132	0.00341	0.32448
	0.9	0.00043	0.00195	0.00484	0.22284
cMILC03	0.0	0.00023	0.00023	0.00074	1.00991
	0.3	0.00041	0.00071	0.00201	0.58326
	0.6	0.00044	0.00132	0.00343	0.33520
	0.9	0.00045	0.00195	0.00486	0.23144
cMILC04	0.0	0.00021	0.00024	0.00076	0.87935
	0.3	0.00053	0.00073	0.00215	0.72735
	0.6	0.00059	0.00133	0.00359	0.44453
	0.9	0.00061	0.00196	0.00503	0.31209
cMILC05	0.0	0.00021	0.00024	0.00074	0.88741
	0.3	0.00039	0.00071	0.00199	0.55327
	0.6	0.00042	0.00132	0.00341	0.32145
	0.9	0.00043	0.00195	0.00483	0.22195
cMILC06	0.0	0.00022	0.00033	0.00093	0.66415
	0.3	0.00033	0.00075	0.00199	0.44103
	0.6	0.00035	0.00134	0.00336	0.26365
	0.9	0.00036	0.00195	0.00477	0.18257
cMILC07	0.0	0.00040	0.00045	0.00138	0.88630
	0.3	0.00057	0.00080	0.00234	0.71414
	0.6	0.00063	0.00137	0.00371	0.46198
	0.9	0.00065	0.00198	0.00511	0.32907
cMILC08	0.0	0.00004	0.00081	0.00222	0.04619
	0.3	0.00003	0.00109	0.00270	0.03077
	0.6	0.00003	0.00158	0.00372	0.01826
Continued on next page					

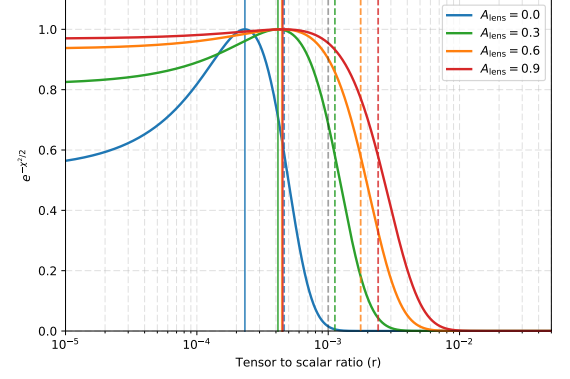
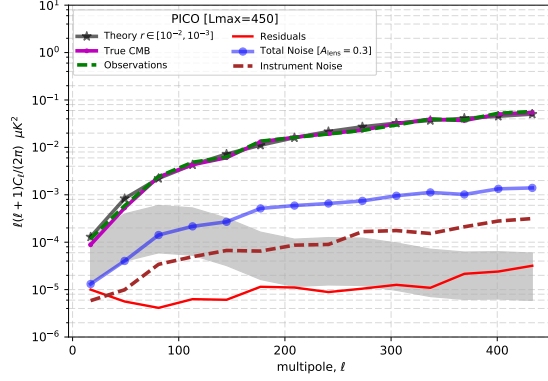
Case	Alens	$r_{\text{bias}}$	$\sigma_r$	$r_{95}$	SNR
cMILC09	0.9	0.00003	0.00214	0.00494	0.01251
	0.0	0.00010	0.00045	0.00107	0.21714
	0.3	0.00004	0.00097	0.00229	0.04559
	0.6	0.00004	0.00153	0.00355	0.02449
cMILC10	0.9	0.00003	0.00211	0.00485	0.01633
	0.0	0.00007	0.00288	0.00744	0.02515
	0.3	0.00007	0.00297	0.00760	0.02408
	0.6	0.00007	0.00322	0.00806	0.02150
cMILC11	0.9	0.00007	0.00357	0.00874	0.01857
	0.0	0.00052	0.00218	0.00537	0.23795
	0.3	0.00009	0.00287	0.00715	0.03140
	0.6	0.00008	0.00316	0.00781	0.02372
cMILC12	0.9	0.00007	0.00354	0.00859	0.01974
	0.0	0.00019	NaN	NaN	NaN
	0.3	0.00019	NaN	NaN	NaN
	0.6	0.00019	NaN	NaN	NaN
cMILC13	0.9	0.00019	NaN	NaN	NaN
	0.0	0.00176	0.00353	0.00908	0.49756
	0.3	0.00181	NaN	NaN	NaN
	0.6	0.00129	NaN	NaN	NaN
cMILC14	0.9	0.00095	NaN	NaN	NaN
	0.0	0.00001	NaN	NaN	NaN
	0.3	0.00001	NaN	NaN	NaN
	0.6	0.00001	NaN	NaN	NaN
	0.9	0.00001	NaN	NaN	NaN



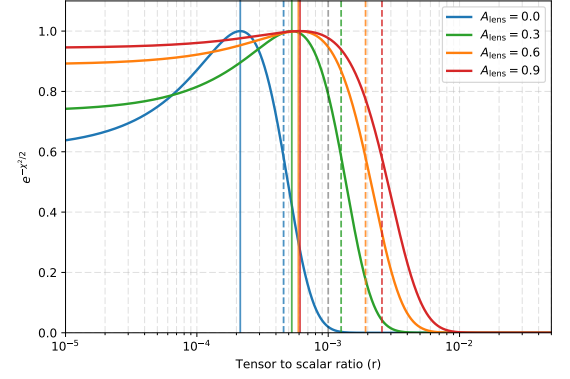
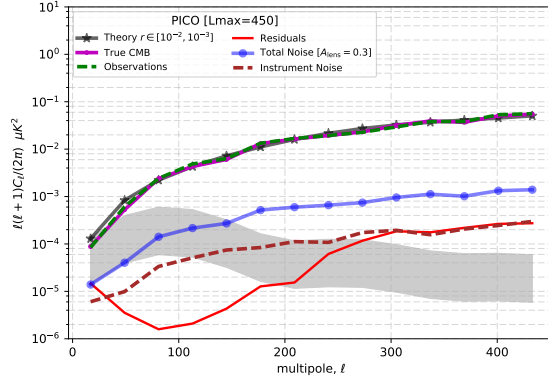
- 1 Mask
- 2 Posterior plots



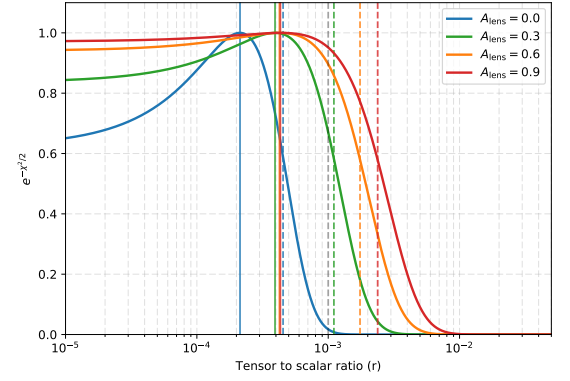
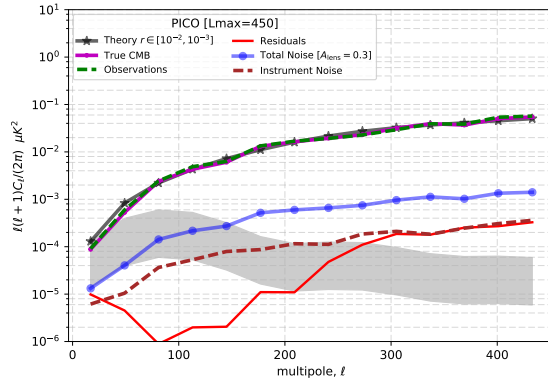
cMILC03 :  $l_{\text{CMB}}$  ;  $l_{\text{sync}}$  ;  $l_{\text{dust}}$

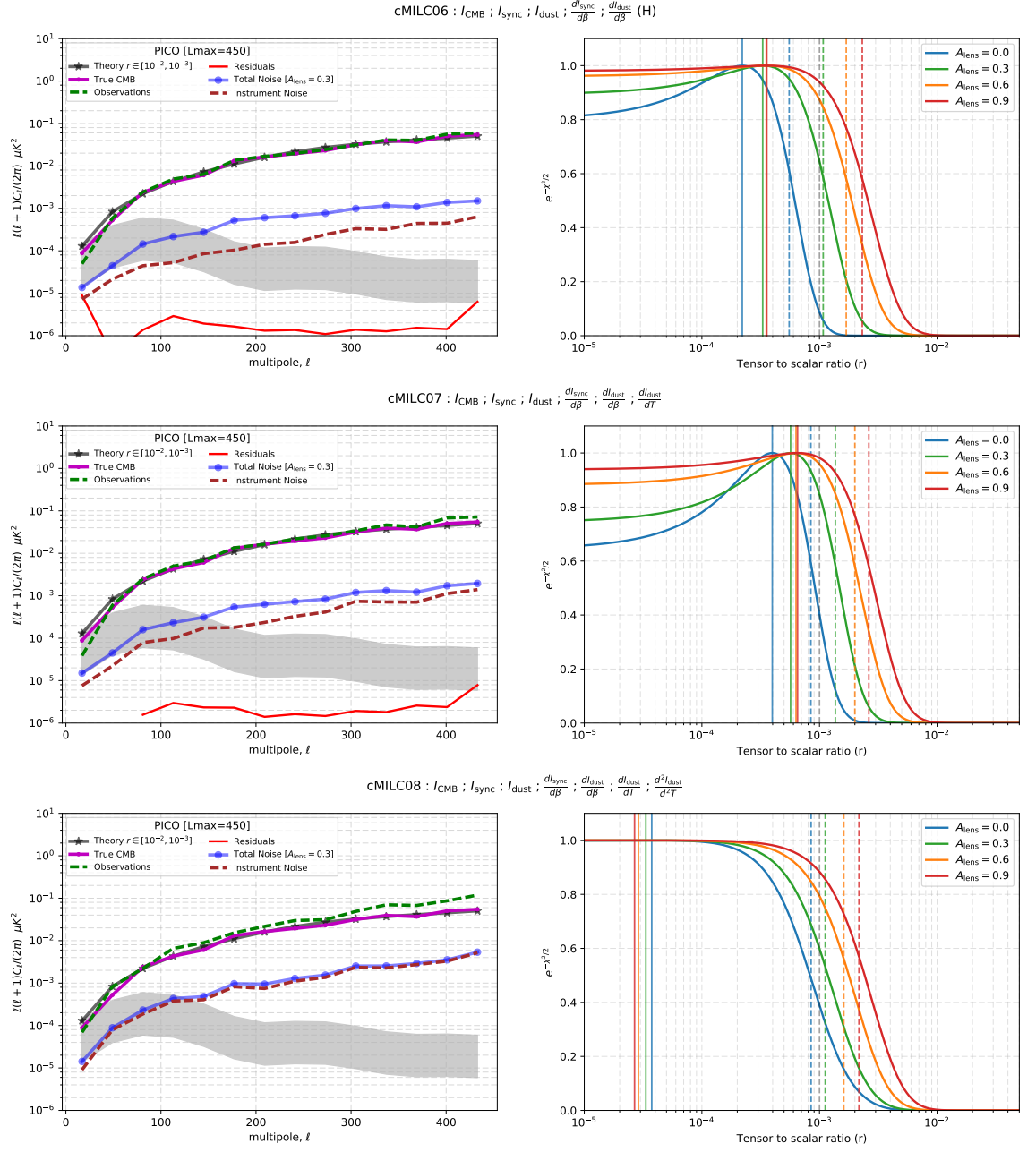


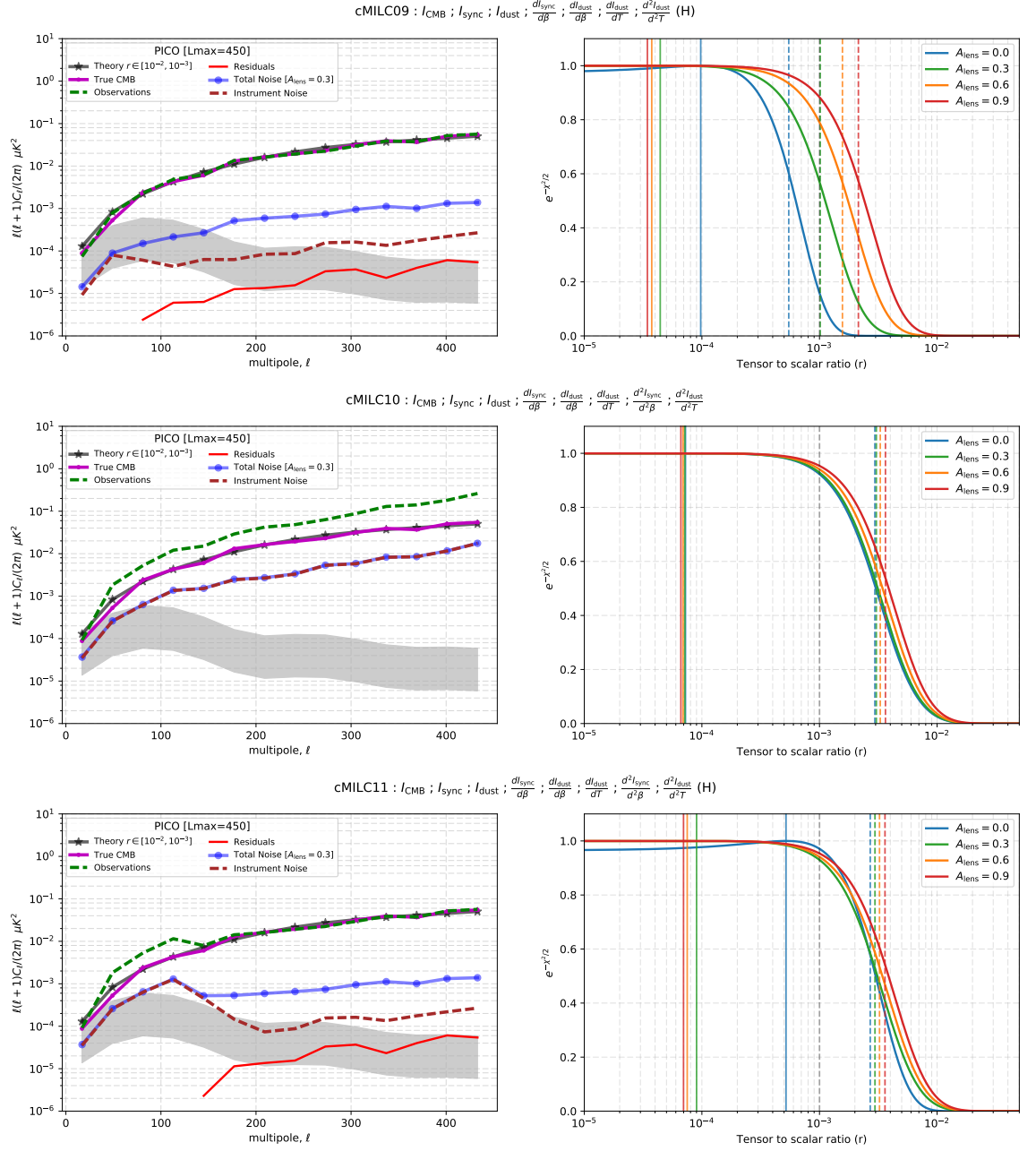
cMILC04 :  $l_{\text{CMB}}$  ;  $l_{\text{dust}}$  ;  $\frac{dl_{\text{sync}}}{d\beta}$



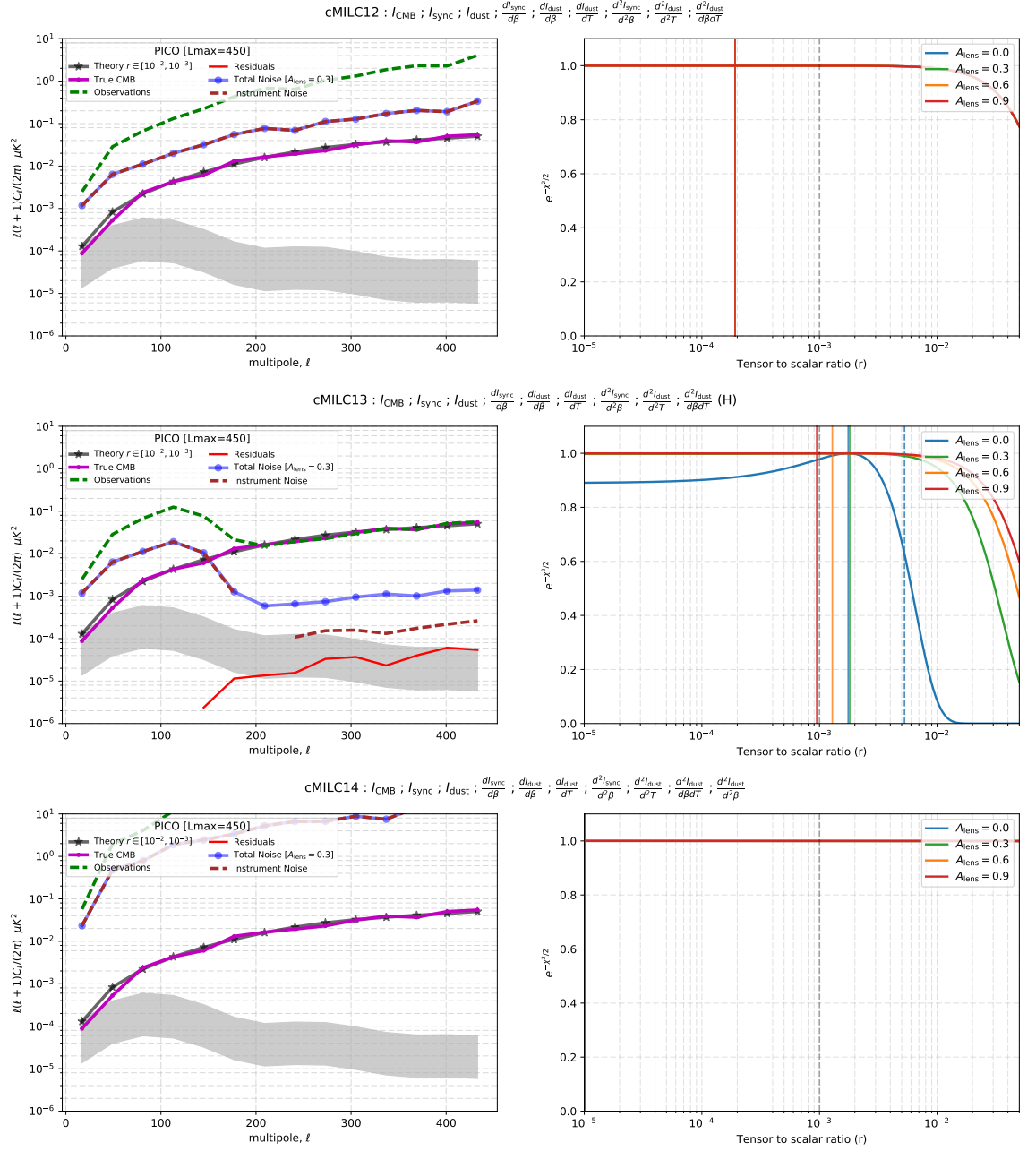
cMILC05 :  $l_{\text{CMB}}$  ;  $l_{\text{sync}}$  ;  $l_{\text{dust}}$  ;  $\frac{dl_{\text{sync}}}{d\beta}$

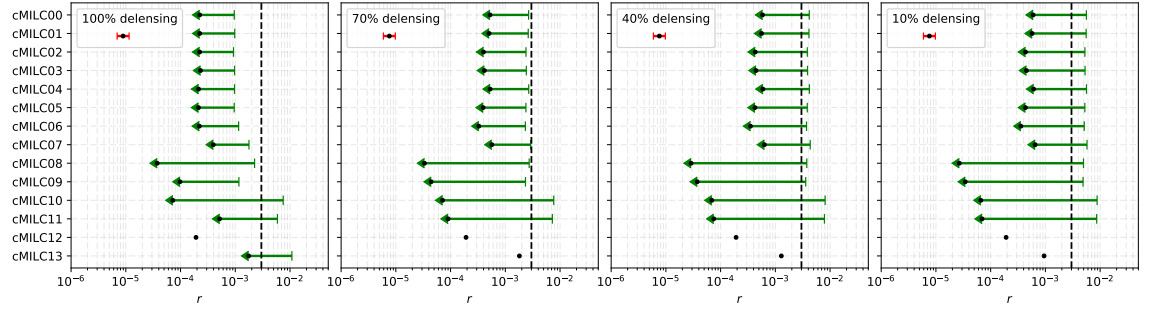












### 3 $r$ constraints